

開水路複断面流れの水理特性について

京都大学防災研究所 正員 分本博達
京都大学大学院 学生員 ○久下俊夫

開水路複断面流れにおいては、高水敷上の流れと低水路内の流れとの間の速度差に基づく強いせん断力が発生し、高水敷先端近傍に低平均・高乱れ速度を有する領域の存在が認められるなど、単断面流れの場合に比しかなり複雑な挙動を示す。²¹⁾また、慣性領域とみなされる高周波数領域の乱流構造については、局所的等方性を満足する相似則が成立することが実験的に確かめられている。本報告は、複断面流れにおける乱流構造を明確に把握するため、複断面形状とスペクトル特性との関係について実験的に検討したものである。

1. 実験装置および方法

実験水路は、幅40cm、深さ20cm、長さ13mの単断面直線水路であって、種々の大きさの合成樹脂板を高水敷として水路両側壁に沿って敷設するところにより図-1に示されるよう複断面が形成される。速度計測にはホットフィルム流速計が用いられ、サンプリング周波数20Hzおよび160Hz、データ数N=500で5回の繰り返し解析のデータ処理が行なわれている。なお、計測は図-1に示される点A, B, Cの3点で行なわれている。

2. 断面形状とスペクトル特性

速度計測は、表-1に示されるように、高水敷幅b, 水深H, 路床勾配Iの3量のうち、2量を一定に保ち、残りの1量を変化させた水理条件下で行なわれている。なお、高水敷高は $a = 3.2\text{cm}$ の一定とされている。

まず、高水敷幅bを変化させた場合のスペクトル $S(f)$ は図-2に示されるように、bの変化にかかわらず、ほぼ10Hz以上の周波数領域では、慣性領域におけるスペクトル相似則としてよく認められて

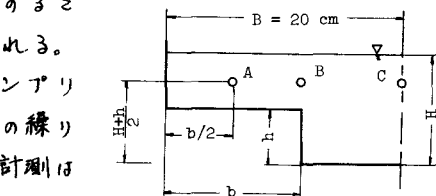


図-1

表-1

$-5/3$ 乗則に従うことが知れる（ただし、図ではたて軸に $f \cdot S(f)$ が用いられておりため勾配 $-5/3$ が相当する、以下同じ）。また、低周波数領域の $S(f)$ については単断面流れの場合に比し、若干複雑な性状を示すことが知れる。

つきに、水深Hあるいは路床勾配Iを変化させた場合の $S(f)$ については、図-3あるいは図-4に示されるように、やはり10Hz以上の高周波数領域では、水深の変化にあるいは路床勾配の変化に關係なく、 $-5/3$ 乗則に従う傾向が認められる。

以上は追水路中央部（C点）での計測結果について検討したものであるが、高水敷中央部（A点）あるいは高水敷先端部（B点）での計測結果につきこまほほ同様の傾向が認め

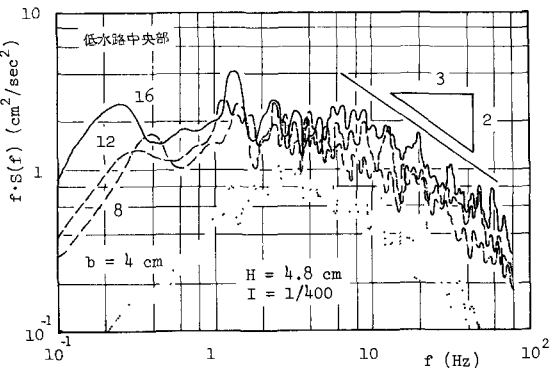


図-2

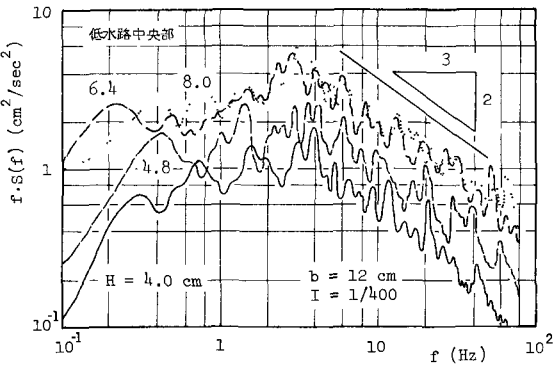


図-3

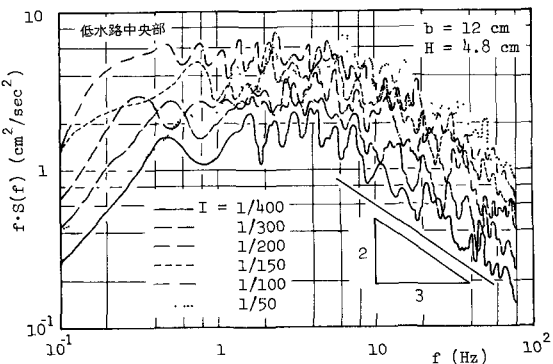


図-4

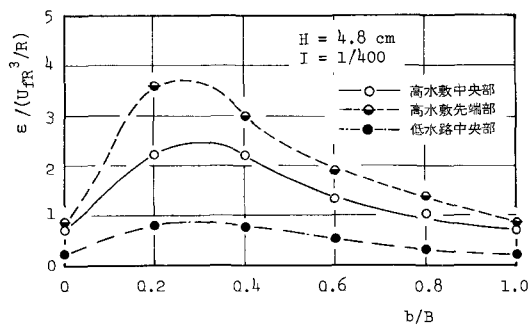


図-5

られ、複断面流れの乱流構造は、高周波数領域を対象とするかぎり、断面形状、水理条件には関係なく、慣性領域の特性として知られる $-5/3$ 乗則の成立性が認められる。このことは、複断面流れにおける乱れについても高周波数領域のものには局所的等方性の概念が適用されることを示すものである。エネルギー-遠散率および動粘性係数のみによつてその乱流構造が決定されることになる。

いま、慣性領域のスペクトルに凍結乱流の仮定を行い、波数スペクトルに関する相似則と周波数スペクトルのそれに書き直し、スペクトル定数として0.47を用いて算定されるエネルギー-遠散率と高水敷幅との関係を示すと図-5のようになる。图では、 ϵ および ϵ は $\epsilon / (U_{JR}^3/R)$ および b/B で表わされているが(ただし、 U_{JR} ; 摩擦速度で $U_{JR} = \sqrt{gR}I$)、A、BおよびC点のいずれの計測位置においても、 $b/B = 0.2 \sim 0.4$ で $\epsilon / (U_{JR}^3/R)$ が最大となる。このようすは特性は、流量および高水敷高を一定とし高水敷幅を変化させた場合の複断面流れに関する U_m/U_{JR} と b/B との関係(U_m ; 断面平均流速)において、 $b/B = 0.4$ 附近で U_m/U_{JR} が最大となるという実験結果²⁾と対応するものであり、複断面流れの取扱いにおける乱れ特性阐明の重要性を示すものといえよう。

参考文献

- 1) 今本博健, 久下俊夫; 複断面流れの水理特性に関する基礎的研究, 高大防災研年報, 17号B, pp. 663~697, 附録4.
- 2) 今本博健, 久下俊夫; 複断面流れの乱れ特性について, 第29回年次学術講演会講演概要集, pp. 349~355, 附録4.